

# senatik

*by Irna Tri*

---

**Submission date:** 20-Dec-2019 11:51AM (UTC+0700)

**Submission ID:** 1237327970

**File name:** VR\_menggunakan\_Bat\_Algorithm\_BA\_untuk\_Meningkatkan\_Keandalan.pdf (546.13K)

**Word count:** 1778

**Character count:** 10512

## Penalaan Optimal PSS-AVR menggunakan Bat Algorithm (BA) untuk Meningkatkan Keandalan Sistem Tenaga Listrik pada sistem SMIB

**5 Irna Tri Yunia hastuti**  
 Universitas PGRI Madiun  
 e-mail: [imatri@unipma.ac.id](mailto:imatri@unipma.ac.id)

**5 Ina Sunaryantiningih**  
 Universitas PGRI Madiun  
 e-mail: [inas@unipma.ac.id](mailto:inas@unipma.ac.id)

**Dwiky Fitrianto**  
 Universitas PGRI Madiun  
[dwikyfitrianto7@gmail.com](mailto:dwikyfitrianto7@gmail.com)

### Abstrak

Artikel ini berfokus pada setting *Power System Stabilizer* (PSS) dan *AVR* (*Automatic Voltage Regulation*) pada *single machine infinite bus* (*SMIB*) untuk meningkatkan kestabilan sistem dinamik. Nilai  $K_{pss}$ ,  $T_w$ ,  $K_1$ ,  $K_2$ ,  $K_3$ ,  $K_4$  dari PSS dan nilai  $K_A$  dari AVR akan diatur/ ditata menggunakan *artificial intelligent* yang bernaama Bat Algorithm (BA). Tujuan dari penalaan ini adalah meminimalkan *overshoot* dan menaikkan nilai *settling time*. Simulasi dilakukan dengan perubahan beban 1%. Hasil simulasi menunjukkan, dengan pengaturan nilai PSS dan AVR menggunakan BA mampu meredam *overshoot* ketika terjadi perubahan beban, serta didapatkan waktu dalam mencapai steady state lebih cepat dibandingkan yang lain.

*Kata kunci :* AVR; PSS; SMIB, overshoot; settling time; Bat Algorithm, artificial intelligent

### 1. Pendahuluan

Penggunaan peralatan tambahan yang tidak tepat pada sistem tenaga listrik dapat menyebabkan beberapa masalah. Kesalahan yang paling sering terjadi adalah pengambilan sinyal referensi atau kesalahan pengambilan nilai parameter pada suatu peralatan.

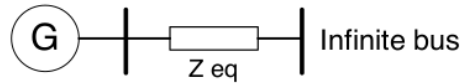
Secara umum *Power System Stabilizer* (PSS) berfungsi untuk menambah redaman pada sistem ketika terjadi perubahan beban (meningkat atau menurun) yang dapat menimbulkan osilasi. Penggunaan PSS dapat meredam osilasi sistem sehingga sistem tetap stabil dan kembali ke keadaan semula. Masukan PSS adalah sinyal frekuensi serta keluarannya sebagai masukan dari PSS. PSS-AVR akan berfungsi dengan baik ketika diatur dengan nilai yang tepat. Secara singkat, fokus artikel ini adalah mengatur nilai PSS-AVR untuk mendapatkan frekuensi osilasi minimum ketika terjadi perubahan beban.

Penelitian terdahulu tentang kestabilan sistem tenaga listrik menggunakan kecerdasan buatan antara lain menggunakan PSO (Soebagio, Soeprijanto, Purnomo, & Haddin, 2012), C-PSO (Bamatraf, 2010), ACO (Fachruddin), BA (S, 2014), PSO (M, 2006) , GSA (Shayegi, 2012). Pada penelitian ini hanya menggunakan Bat Algorithm (BA) untuk mengamati kestabilan sistem.

### 2. Desain dan Metodologi

Konfigurasi dari generator yang saling terhubung dengan *infinite bus* digambarkan pada Gambar 1.

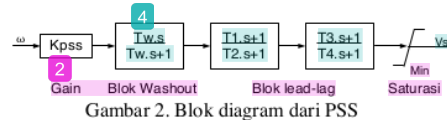
Pemodelan sistem dari SMIB diasumsikan dengan sebuah generator.



Gambar 1. Representasi SMIB

#### 2.1 Power System Stabilizer (PSS)

Kestabilan dinamik adalah kestabilan sistem tenaga listrik akibat perubahan beban kecil (Adi, 2012). Perubahan beban mengakibatkan osilasi frekuensi tetapi jika tidak segera diatasi dapat menyebabkan ketidakstabilan sistem. Untuk mengatasi hal tersebut dibutuhkan penambahan peredam yang dinamakan *Power System Stabilizer* (PSS). Pemodelan linier dari PSS ditunjukkan pada Gambar 2.



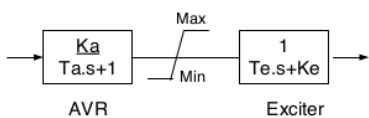
Gambar 2. Blok diagram dari PSS

#### 2.2 Automatic Voltage Regulation (AVR)

Kontrol sistem eksitasi menghasilkan tegangan emf dari generator. Tidak hanya mengatur tegangan keluaran generator, tetapi digunakan untuk mengatur *power factor* (pf), mengatur arus dan memperbaiki variabel yang lain. Artikel ini menggunakan tipe *exciter* tipe 1 (Robandi,

2006). Transfer function AVR dapat dituliskan sesuai dengan persamaan (1)

$$\frac{V_R(s)}{V_c(s)} = \frac{K_A}{T_A \cdot s + 1} \quad (1)$$



Gambar 3. Blok diagram AVR pada sistem eksitasi

Blok Amplifier mempunyai konstanta waktu ditulis sebagai  $T_A$  dan blok amplifier mempunyai konstanta gain ditulis sebagai  $K_A$ . Keluaran dari AVR adalah dibatasi oleh limiter dengan nilai maksimum  $\Delta V_{R\max}$  dan nilai minimum  $\Delta V_{R\min}$ . Rentang nilai parameter  $K_A$  dan  $T_A$  diantara 10-400 pu dan 0.02-0.1 s (Soebagio, Soeprijanto, Pumomo, & Haddin, 2012).

### 3. Bat Algorithm (BA)

*Bat Algorithm* (BA) adalah sebuah algoritma metaheuristik baru yang dikenalkan oleh Xin Yang pada 2010. Algoritma ini terinspirasi oleh kebiasaan Kelelawar. Kelelawar merupakan binatang yang paling terkenal karena satu-satunya mamalia yang mempunyai sayap untuk terbang dan mempunyai kemampuan ekolokasi. Kemampuan itu digunakan sebagai sonar yang bernama ekolokasi untuk mendeteksi makanan, menghindari rintangan dan mencari sarang dalam kegelapan. Kelelawar ini membangkitkan pulsa dengan suara frekuensi tinggi dan mendengarkan gema yang memantul kembali dari objek di sekitarnya. Pulsa yang dibangkitkan bervariasi dan dapat dihubungkan dengan binatang lain dengan strategi berburu tergantung pada jenis spesies. Kelelawar biasanya menggunakan sinyal frekuensi modulasi pendek sekitar 1 oktaf, ketika yang lain menggunakan sinyal frekuensi konstan sebagai ekolokasi. Lebar sinyal bervariasi tergantung pada spesies dan sering ditingkatkan sebagai harmonik. Secara singkat, dengan kemampuan ekolokasi kelelawar dapat terbang dalam kegelapan untuk mencari makanan tanpa menabrak apapun. *Pseudo code* dari BA ditunjukkan pada Gambar 4.

```

1
Objective function  $f(x)$ ,  $x = (x_1, \dots, x_d)^T$ 
Initialize the bat population  $x_i$  ( $i = 1, 2, \dots, n$ ) and  $v_i$ 
Define pulse frequency  $f_i$  at  $x_i$ 
Initialize pulse rates  $r_i$  and the loudness  $A_i$ 
while ( $t < \text{Max number of iterations}$ )
    Generate new solutions by adjusting frequency,
    and updating velocities and locations/solutions
        if ( $\text{rand} > r_i$ )
            Select a solution among the best solutions
            Generate a local solution around the selected best solution
                end if
            Generate a new solution by flying randomly
                if ( $\text{rand} < A_i \& f(x_i) \leq f(x_s)$ )
                    Accept the new solutions
                    Increase  $r_i$  and reduce  $A_i$ 
                end if
end while

```

Rank the bats and find the current best  $x^*$

Postprocess results and visualization

Gambar 4. *Pseudo code* dari BA

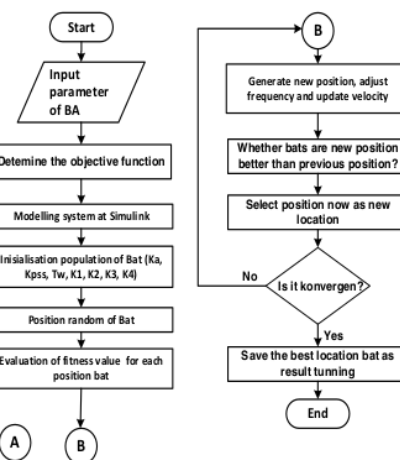
Untuk mensimulasikan aturan dari *Bat Algorithm* (BA) dapat dituliskan dengan posisi ( $x_i$ ), kecepatan ( $v_i$ ) dan dimensi ( $d_i$ ) untuk mendapatkan posisi baru. Untuk mendapat solusi baru menurut persamaan (2) sampai (4)

$$f_i = f_{\min} + (f_{\max} - f_{\min}) \cdot \beta \quad (1)$$

$$v \frac{t+1}{i} = v \frac{t}{i} + \left( x \frac{t}{i} - x^* \right) \cdot f_i \quad (2)$$

$$t \frac{t+1}{i} = x \frac{t}{i} + v \frac{t}{i} \quad (3)$$

Salah satu lokasi pencarian adalah diantara solusi terbaik, untuk mendapatkan solusi baru masing-masing kelelawar membangkitkan pulsa emisi menggunakan cara acak di tempat tersebut.



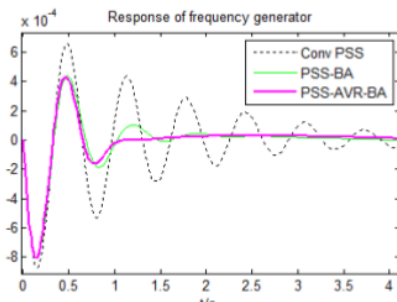
Gambar 5. Diagram alir penelitian

### 4. Hasil dan Pembahasan

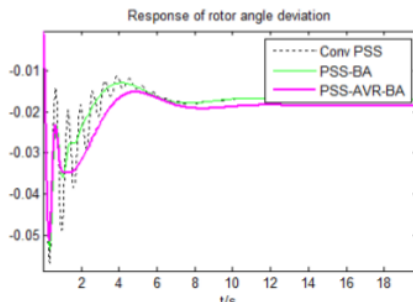
Pada artikel ini simulasi menggunakan Matlab 2010b yang digunakan untuk menampilkan sistem kestabilan dinamik, berdasarkan informasi dari kecepatan rotor, sudut deviasi dan deviasi tegangan terminal pada SMIB dengan parameter seperti yang ditunjukkan pada Tabel 5.

Gambar 6, 7 dan 8 menunjukkan respon kecepatan deviasi rotor, sudut deviasi rotor dan tegangan deviasi. Dimana sistem yang dibandingkan adalah konvensional PSS, PSS-BA dan PS<sub>2</sub>AVR-BA. Pada sistem digunakan gangguan sekitar 1%. Hasil simulasi menunjukkan bahwa penalaan PSS-AVR menggunakan BA dapat meningkatkan respon sistem antara lain kecepatan deviasi, sudut deviasi dan deviasi terminal sudut rotor sehingga kestabilan sistem dapat terjaga.

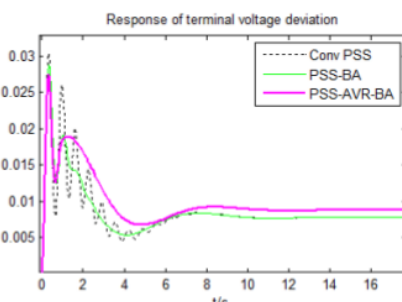
Gambar 7 menunjukkan respon deviasi kecepatan rotor PSS-AVR-BA sangat berdekatan dengan metode lainnya dan hampir sama tetapi berbeda dari segi kecepatan mencapai steady state. PSS-AVR-BA lebih cepat mencapai steady state ketika diberi gangguan perubahan beban 1%. Gambar 8 menunjukkan respon sudut deviasi rotor yang tidak dapat kembali ke keadaaan semula tetapi ketika overshoot sistem PSS-AVR-BA lebih baik daripada yang lain. Pada Gambar 8, menunjukkan tegangan deviasi pada terminal menunjukkan PSS-AVR-BA lebih besar daripada yang lain tetapi mempunyai overshoot yang paling minimal. *Overshoot* dan *settling time* ditunjukkan pada Tabel 1 dan 2. Pengaturan gain PSS-AVR dan meredam overshoot dan mempercepat settling time.



Gambar 1. Respon deviasi kecepatan rotor



Gambar 2. Respon deviasi sudut rotor



Gambar 3. Respon deviasi tegangan terminal

Tabel 1. Overshoot (pu)

	Conv-PSS	PSS-BA	PSS-AVR-BA
$\Delta\omega$	$-8,7.10^{-4} \& 6,599.10^{-4}$	$-8,024.10^{-4} \& 4,343.10^{-4}$	$-8,016.10^{-4} \& 4,277.10^{-4}$
$\Delta\delta$	-0,0566 & 0	0,05329 & 0	-0,05125 & 0
$\Delta V_t$	0 & 0,03042	0 & 0,02887	0 & 0,02752

Tabel 2. Setting time (s)

	Conv-PSS	PSS-BA	PSS-AVR-BA
$\Delta\omega$	8,5	5,7	5
$\Delta\delta$	14	14	11
$\Delta V_t$	14	14	10

Pada penelitian ini, konvensional PSS adalah pengaturan PSS dengan memasukkan nilai acak (*trial and error*), PSS-BA adalah pengaturan PSS yang nilainya di *tuning*/ di tala menggunakan *Artificial intelligent BA (Bat Algorithm)*. Dan yang terakhir adalah PSS-AVR-BA, dimana nilai PSS dan AVR di dapat dari penalaan menggunakan .

## 5. Kesimpulan

*Bat Algorithm* (BA) dapat digunakan untuk mental setting PSS dan gain dari AVR. Metode penalaan ini didapatkan dengan cara mengurangi comprehensive damping index (CDI) dari SMIB. Tujuan dari metode ini adalah untuk meningkatkan respon kestabilan dinamik sistem tenaga listrik dalam mencapai steady state/ keadaan stabil kemudian dibandingkan dengan konvensional PSS dan PSS-BA

## DAFTAR PUSTAKA

2

- Adi, S. (2012). *Desain Kontroler untuk Kestabilan Dinamik Sistem Tenaga Listrik*. Surabaya: ITS press.
- Bamatraf, R. M. (2010). Desain Kontrol Optimal PSS dan FACTS menggunakan Craziness Particle Swarm Optimization pada Sistem Interkoneksi Jawa Bali 500kV. *Tugas Akhir Departement of Electrical Engineering, ITS*.
- Fachruddin. (t.thn.). Optimisasi dual input power system stabilizer (PSS) menggunakan ant colony optimization (ACO). *Tugas Akhir departement of electrical engineering, Institut Teknologi Sepuluh Nopember*, 2013.
- M, E. Z. (2006). Optimal tuning of power system stabilizer and AVR gains using particle swarm optimization. *elsevier*, 551-557.
- Robandi, I. (2006). *Desain Sistem Tenaga Modern*. Yogyakarta: Andi Press.
- S, A. E. (2014). Optimization of Power System Stability using BAT Search Algorithm. *Electrical Powerand Energy System*, 083-090.

Shayegi, A. G. (2012). Optimal tuning of PID type stabilizer and AVR gain using GSA technique. *IJPTE Journal*, 98-106; vol. 4, no. 11.

Soebagio, Soeprijanto, A., Purnomo, M. H., & Haddin, M. (2012, August). Optimal setting gain of PSS-AVR based on Particle Swarm Optimization for power system stability improvement. *Journal of Theoretical and Applied Information technology*, 42-48 ; Vol 42, No.1.

#### LAMPIRAN

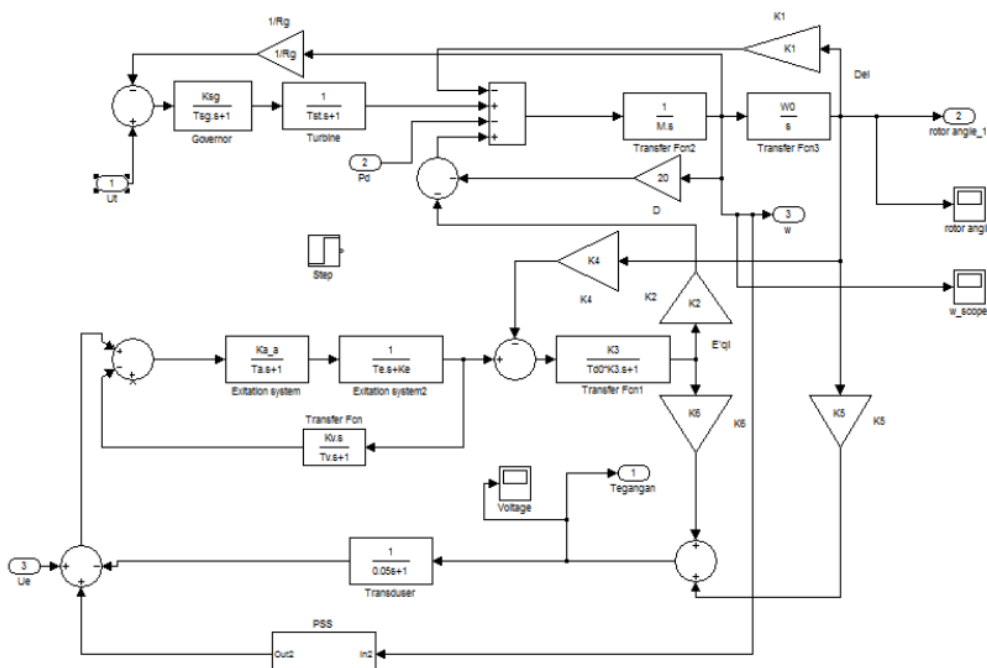
Tabel 2. Parameter BA

Parameter BA	
Maximum iteration	50
Population size	35
Dimension	7

Loudness	0.5
Upper and lower frequency	100 & 0
Pulse rate	0.6
Gamma and alpha	0.9

Tabel 3. Parameter PSS dan AVR

Parameter	Conv-PSS	PSS-BA	PSS-AVR-BA
K <sub>A</sub>	400	400	350.1847
K <sub>pss</sub>	8	14.4043	11.2325
T <sub>w</sub>	0.05	0.1806	0.1983
T <sub>1</sub>	0.1	0.5733	1.2987
T <sub>2</sub>	0.05	0.0818	0.0372
T <sub>3</sub>	0.7	0.9154	1.5751
T <sub>4</sub>	0.2	0.0232	0.1589



Gambar 4. Pemodelan linear SMIB

Tabel 4. Parameter dari SMIB

K <sub>1</sub> - K <sub>2</sub>		Parameter SMIB					
K <sub>1</sub>	2.9181	H	5.19	T <sub>d0</sub>	9.45	D	20
K <sub>2</sub>	2.7280	K <sub>sg</sub>	20	K <sub>E</sub>	15	W <sub>O</sub>	2.pi/50
K <sub>3</sub>	0.1534	T <sub>sg</sub>	1	T <sub>E</sub>	1.25	M	2*H
K <sub>4</sub>	5.0992	T <sub>st</sub>	0.15	K <sub>V</sub>	0.05		
K <sub>5</sub>	-0.5329	K <sub>A</sub>	400	T <sub>V</sub>	0.1		
K <sub>6</sub>	0.0676	T <sub>A</sub>	0.05	R <sub>g</sub>	0.1		



PRIMARY SOURCES

---

- |   |  |     |
|---|--|-----|
| 1 | <a href="http://www.slideshare.net">www.slideshare.net</a>   | 6%  |
| 2 | <a href="http://media.neliti.com">media.neliti.com</a>   | 4%  |
| 3 | Agus Harjoko, Tri Ratnaningsih, Esti Suryani, Wiharto, Sarngadi Palgunadi, Nurcahya<br>Pradana Taufik Prakisya. "Classification of acute myeloid leukemia subtypes M1, M2 and M3 using active contour without edge segmentation and momentum backpropagation artificial neural network", MATEC Web of Conferences, 2018<br>Publication | 1 % |
| 4 | <a href="http://pt.scribd.com">pt.scribd.com</a>   | 1 % |
| 5 | Putri Oktovita Sari, Prima Utama Wardoyo Putro. "MOTIVASI DOSEN: Bekerja hingga Ibadah (Studi pada Dosen Program Studi Manajemen Universitas Islam Indonesia)", Ekonika : Jurnal ekonomi universitas kadiri,   | 1 % |

# 2019

Publication

---

---

Exclude quotes	On	Exclude matches	< 15 words
Exclude bibliography	On		